基于 65 nm 工艺的多端口可配置 PUF 电路设计

李 刚 汪鹏君* 张跃军 钱浩宇 (宁波大学电路与系统研究所 宁波 315211)

摘 要:物理不可克隆函数(Physical Unclonable Function, PUF)电路利用结构完全相同的电路在制造过程中存在的随机工艺偏差,产生具有唯一性、随机性和不可克隆性的密钥。该文通过对共源共栅电流镜的研究,提出一种基于电流镜工艺偏差的多端口可配置 PUF 电路。该 PUF 电路由输入寄存器、偏差电压源、复用网络、判决器阵列和扰乱模块构成,通过激励信号配置偏差电压源,无需更换硬件便可实现输出密钥的变化,且可在一个时钟周期内输出多位密钥。在 SMIC 65 nm CMOS 工艺下,采用全定制方式设计具有 36 个输出端口的 PUF 电路,版图面积为 24.8 μm×77.4 μm。实验结果表明,该 PUF 电路具有良好的唯一性和随机性,且工作在不同温度(-40~125°C)和电压(1.08~1.32 V)下的可靠性均大于 97.4%,可应用于信息安全领域。

关键词: 电路设计; 物理不可克隆函数; 多端口; 可配置

中图分类号: TP331

文献标识码: A

文章编号: 1009-5896(2016)06-1541-06

DOI: 10.11999/JEIT150968

Design of Multi-port Configurable PUF Circuit Based on 65 nm Technology

LI Gang WANG Pengjun ZHANG Yuejun QIAN Haoyu (Institute of Circuits and Systems, Ningbo University, Ningbo 315211, China)

Abstract: Physical Unclonable Functions (PUF) exploits process variation across the same structure circuits during the manufacturing processes to generate numerous unique, random and unclonable security keys. In this paper, a multi-port configurable PUF scheme is proposed, which is based on random deviation of current mirrors. It consists of input register, deviation-voltage source, multiplexing-net, arbiter array and obfuscation circuit. After configuring deviation-voltage source by applying different input challenges, the PUF circuit updates keys without physically replacement, and it can generate multi-bit keys in a clock cycle. In SMIC 65 nm CMOS technology, the layout of 36 ports configurable PUF occupies 24.8 μ m×77.4 μ m with custom designing. Experimental results show that the PUF circuit possesses better statistical characteristic of uniqueness and randomness, and it has a high reliability of 97.4% with respect to temperature variation from -40 °C to 125 °C, and supply voltage variation from 1.08 V to 1.32 V. It can be effectively used in information security field.

Key words: Circuit design; Physical Unclonable Function (PUF); Multi-port; Configurable

1 引言

随着计算机技术和集成电路技术的飞速发展,信息安全与隐私越来越受到人们关注。物理不可克隆函数(Physical Unclonable Function, PUF)电路^[1,2],采用提取硬件纹理特性的方式,提供了一种增强信息安全的途径。这种技术最早由文献[3]提出,它是集成电路领域的"DNA特征识别技术"。目前

硅基 PUF 电路^[4-6]是最主要的一个研究方向,利用结构和参数相同的电路之间存在的微小工艺偏差(表现在电学特性上为时延、电压、电流偏差等),产生具有唯一性、随机性和不可克隆性的响应。这些微小工艺偏差可分为两类:第1类为工艺参数偏差,包括掺杂浓度、氧化层厚度、扩散深度等,是由沉积和掺杂剂扩散的非均匀性导致;第2类为几何尺度偏差,主要包括晶体管宽度和长度偏差,是由光刻技术的精度决定。PUF 电路输出相应的唯一性、随机性和不可克隆性这3大特性使得它在设备认证、密钥生成与存储^[7], IP 保护^[8]以及安全芯片防攻击^[9]等信息安全领域具有广阔的应用前景。

物理不可克隆性是 PUF 电路的固有属性,因此在 PUF 电路设计过程中应着重考虑输出响应的唯

收稿日期: 2015-08-24; 改回日期: 2016-01-20; 网络出版: 2016-03-14 *通信作者: 汪鹏君 wangpengjun@nbu.edu.cn

基金项目: 国家自然科学基金(61474068, 61274132), 浙江省自然科学基金(LQ14F040001), 浙江省教育厅项目(Y201430798)

Foundation Items: The National Natural Science Foundation of China (61474068, 61274132), The Natural Science Foundation of Zhejiang Provice (LQ14F040001), The Project of Department of Education of Zhejiang Provice (Y201430798)

一性、随机性以及可靠性,而这些属性不仅取决于 PUF 电路偏差信号的大小及分布,还受比较器灵敏 度的限制。传统的 PUF 电路,主要利用数字电路中 MOSFET 的工艺参数偏差和几何尺度偏差来设计 偏差信号产生电路,如RO-PUF电路中的环形振荡 器[4], SRAM-PUF 电路中的交叉耦合反相器[10]以及 Arbiter-PUF 电路中的延时单元[11]等。电流镜是模 拟电路中必不可少的部分,用于实现复制输入电流 到输出支路,然而由于输入-输出电路之间的随机工 艺偏差和系统误差, 使得复制到输出支路上的电流 会围绕输入电流大小产生偏差。鉴此,利用电流镜 的随机工艺偏差来设计偏差信号产生电路,继而构 建 PUF 电路。首先对电流镜的工艺偏差进行分析, 理论推导电流镜电流增益偏差与工艺参数偏差的关 系,并通过 Monte Carlo 仿真得到共源共栅电流镜 具有抑制沟道长度调制效应的特性,适合用于设计 PUF 电路的偏差信号产生电路。然后结合基准电流 源和共源共栅电流镜设计偏差电压源,并采用偏差 电压复用技术,实现所提 PUF 电路在一组激励下产 生多位输出响应的目的。最后在 SMIC 65 nm CMOS 工艺下对所提 PUF 电路进行版图设计,并 运用 Spectre 进行计算机仿真验证其性能。

2 电流镜工艺偏差分析

电流镜的主要功能是将输入支路上的电流复制到输出支路上,图 1 为两种不同类型的电流镜结构,图 1(a)为基本电流镜,图 1(b)为共源共栅电流镜。图 1(a)中连接成二极管形式的晶体管 M_1 将输入电流转化为内部参考电压 $V_{\rm in}$,这个参考电压同时作用于晶体管 M_2 的栅极上,在该电压的驱动下 M_2 漏源端产生电流,从而实现输入-输出支路上的电流镜像流动。忽略沟道长度调制效应,工作在饱和区的晶体管 M_1, M_2 的 I-V方程可表示为

$$\begin{split} I_{\rm ds1} &= \frac{1}{2} \, \mu_{\rm n1} C_{\rm ox1} (W \, / \, L)_1 \, \big(V_{\rm in} \, - V_{\rm th1} \big)^2 \\ &= \frac{1}{2} \, k_{\rm n1} \, \big(V_{\rm in} \, - V_{\rm th1} \big)^2 \end{split} \tag{1}$$

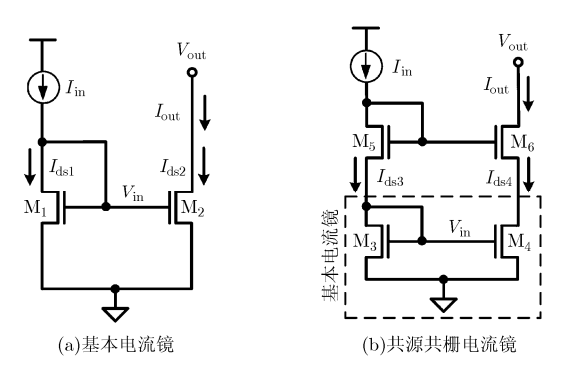


图 1 两种电流镜结构

$$\begin{split} I_{\rm ds2} &= \frac{1}{2} \, \mu_{\rm n2} C_{\rm ox2} (W/L)_2 \, \big(V_{\rm in} - V_{\rm th2} \big)^2 \\ &= \frac{1}{2} \, k_{\rm n2} \, \big(V_{\rm in} - V_{\rm th2} \big)^2 \end{split} \tag{2}$$

其中, $k_{\rm n1} = \mu_{\rm n1} C_{\rm ox1} (W/L)_1$ 和 $k_{\rm n2} = \mu_{\rm n2} C_{\rm ox2} (W/L)_2$ 分别表示 M_1 和 M_2 的增益因子, $\mu_{\rm n1}$ 和 $\mu_{\rm n1}$ 分别表示 M_1 和 M_2 的电子迁移率, $C_{\rm ox1}$ 和 $C_{\rm ox2}$ 分别表示 M_1 和 M_2 单位面积栅氧化层电容, $(W/L)_1$ 和 $(W/L)_2$ 分别表示 M_1 和 M_2 的宽长比, $V_{\rm th1}$ 和 $V_{\rm th2}$ 分别表示 M_1 和 M_2 的阈值电压。在 M_1, M_2 的尺寸完全相同且 忽略体效应的情况下,根据式(1)和式(2)可知,流经 M_1, M_2 的电流 $I_{\rm ds1}, I_{\rm ds2}$ 应该完全相同。但事实上由于 工艺偏差的影响, M_1 和 M_2 的上述参数并不相同,使得 $I_{\rm ds1}, I_{\rm ds2}$ 产生偏差,进而造成电流镜输入-输出电流产生偏差。

由式(1)和式(2)可以获得电流镜电流增益偏差^[12]与工艺参数偏差的关系。首先讨论 M_1,M_2 阈值电压 V_{th} 完全相同,但导电因子 k_{n1} , k_{n2} 存在工艺偏差的情况,此时电流镜电流增益偏差为

$$\varepsilon \mid_{\Delta k_{\rm n}} = \frac{I_{\rm ds2} - I_{\rm ds1}}{\left(I_{\rm ds2} + I_{\rm ds1}\right)/2} = \frac{(V_{\rm in} - V_{\rm th})^2 (k_{\rm n2} - k_{\rm n1})}{(V_{\rm in} - V_{\rm th})^2 (k_{\rm n2} + k_{\rm n1})/2}
= \frac{\Delta k_{\rm n}}{k_{\rm n, avg}} \tag{3}$$

 $\Delta k_{\rm n} = k_{\rm n2} - k_{\rm n1}$ 和 $k_{\rm n_avg} = (k_{\rm n2} + k_{\rm n1})/2$ 分别表示 M_1 , M_2 的增益因子偏差和增益因子平均值。然后讨论 M_1, M_2 的增益因子 $k_{\rm n}$ 完全相同,但阈值电压 $V_{\rm th1}$, $V_{\rm th2}$ 存在工艺偏差的情况,此时电流镜电流增益偏差为

$$\begin{split} \varepsilon \mid_{\Delta V_{\text{th}}} &= \frac{I_{\text{ds2}} - I_{\text{ds1}}}{\left(I_{\text{ds2}} + I_{\text{ds1}}\right) \! / 2} \\ &= \frac{k_{\text{n}} \left((V_{\text{in}} - V_{\text{th2}})^2 - (V_{\text{in}} - V_{\text{th1}})^2 \right)}{k_{\text{n}} \left((V_{\text{in}} - V_{\text{th2}})^2 + (V_{\text{in}} - V_{\text{th1}})^2 \right) \! / 2} \\ &\approx - \frac{\Delta V_{\text{th}}}{(V_{\text{in}} - V_{\text{th} \text{avg}}) / 2} \end{split} \tag{4}$$

 $\Delta V_{\rm th} = V_{\rm th2} - V_{\rm th1}$ 和 $V_{\rm th_avg} = (V_{\rm th2} + V_{\rm th1})/2$ 分别表示 $M_{\rm 1}, M_{\rm 2}$ 的阈值电压偏差和阈值电压的平均值。最后考虑到 $M_{\rm 1}, M_{\rm 2}$ 增益因子偏差和阈值电压偏差互不相关,则电流镜电流增益偏差可表示为

$$\varepsilon = \varepsilon|_{\Delta k_{\rm n}} + \varepsilon|_{\Delta V_{\rm th}} = \frac{\Delta k_{\rm n}}{k_{\rm n_avg}} - \frac{\Delta V_{\rm th}}{(V_{\rm in} - V_{\rm th_avg})/2} \quad (5)$$

以上分析建立在忽略沟道长度调制效应的基础上,事实上由于电流镜输入-输出支路并不完全对称,导致 MOS 管 $(M_1 \pi M_2)$ 的漏端电压不同,从而使得输出电流受沟道长度调制效应的影响。这种偏差由电流镜的结构决定,属于系统误差,可通过修

改电路结构加以改善。图 1(b)所示的共源共栅电流镜,是在基本电流镜的基础上增加两个晶体管 M_5 , M_6 用于提高电流镜的输出阻抗,从而抑制沟道长度调制效应。

在 SMIC 65 nm CMOS 工艺下,对输入电流为 $5 \mu A$ 、增益系数为 1 的两类电流镜分别进行 50 次蒙特卡洛仿真, $I \cdot V$ 输出关系如图 2 所示。其中图 2(a) 为基本电流镜的 $I \cdot V$ 输出关系, V_{ov} 为其最小输出电压;图 2(b)为共源共栅电流镜的 $I \cdot V$ 输出关系, $2 V_{ov} + V_{th}$ 为其最小输出电压。由图 2 可知,当输出电压(V_{out})大于最小输出电压时,两种电流镜的输出电流(I_{out})都围绕输入电流大小($I_{in}=5 \mu A$)产生了随机偏差,但仅共源共栅电流镜的输出电流不随输出电压的增大而改变。因此采用共源共栅电流镜设计偏差信号产生电路,可增强 PUF 电路的可靠性。

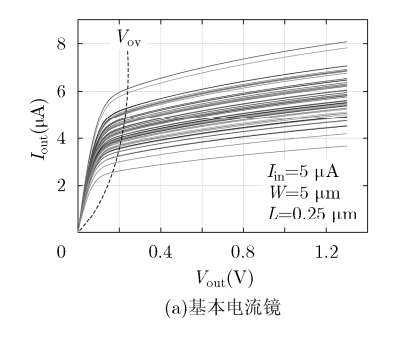
3 PUF 电路设计

由上节分析可知, 共源共栅电流镜比基本电流 镜具有更大的输出阻抗, 可有效抑制沟道长度调制 效应。因此,将利用共源共栅电流镜的随机工艺偏 差设计 PUF 电路,结构如图 3 所示。该 PUF 电路 由输入寄存器、偏差电压源、复用网络、判决器阵 列及扰乱模块构成。输入寄存器由 $m \cap D$ 触发器构 成,用以保证输入的激励信号同步,避免不同步的 激励信号对输出响应的干扰;偏差电压源由n个结 构和参数完全相同的偏差电压单元(Deviationvoltage Unit, DU)构成,用于产生 n 组偏差电压 $(V_{b0} - V_{b(n-1)}, V_{c0} - V_{c(n-1)})$; 复用网络采用数学排列 的方式从 n 个不同的偏差电压中任意选取 2 个偏差 电压 (C_n^2) ,作为判决器阵列的输入信号;判决器阵 列由 2 C² 个电压比较器(Voltage Comparator, VC) 构成,并根据复用网络提供的偏差电压大小产生判 决输出; 扰乱模块由 C_n^2 个异或门构成, 用于扰乱判 决器阵列输出值之间的相关性,从而增强防御攻击 的能力,扰乱规则为 $R_i = R_{bi} \otimes R_{ci}$,其中 R_{bi} , R_{ci} 分 别表示上、下两路第 i 个判决器的判决输出, R_i 为 PUF 电路第 i 个输出端口的输出响应。

DU 和 VC 是 PUF 电路设计的关键,不仅决定 输出响应的唯一性和随机性还影响 PUF 电路的可 靠性。DU 由基准电流源 $(R_a, P_0 - P_3, N_0 - N_4)$,多路 共源共栅电流镜(短虚线框内所示), 开关阵列 $(S_0 - S_{m-1})$ 和负载电阻 (R_b, R_c) 构成。基准电流源用于 产生不随温度和电压变化的电流 $i_{REF}(i_{REF}=1 \mu A)$, 共源共栅电流镜则将基准电流复制到各输出支路 上, 且各输出支路与基准电流源输出支路参数相同 (W/L=120 n/60 n),则理论上有 $i_{REF}=i_k(k=0,1,\cdots,$ m-1), 然而受工艺参数偏差的影响 i_k 会围绕 i_{REF} 产生随机偏差。受激励信号控制的各输出支路偏差 电流之和在电阻 $R_{\rm b}$ 和 $R_{\rm c}$ 上产生分压,从而产生偏 差 电 压 $V_{\mathrm{b}} \! = \! V_{\mathrm{DD}} - R_{\mathrm{b}} \! \sum_{k=0}^{m-1} i_k S_k$ 和 $V_{\mathrm{c}} \! = \! V_{\mathrm{DD}}$ $-R_{\rm c}\sum_{k=0}^{m-1}i_k\overline{S}_k$, \overline{S}_k 表示对 S_k 逻辑取反。VC 由交叉 耦合反相器 (N_5-N_6, P_5-P_6) 、预充电管 (P_7, P_8) 、差分 电压探测管(N₇,N₈)以及使能管(N_{en})构成,其中 en pre和en sa为使能信号端。当en pre和en sa 为低电平时 VC 处于预充电阶段,此时 P_7 和 P_8 导 通、 N_{en} 截止, 节点 a,b,c,d 被充电至高电平。当 en pre和en sa相继变为高电平后VC处于求值阶 段,此时 P_7 和 P_8 截止、 N_{en} 导通, VC 则根据 V_n 和 V_n 大小产生判决输出。判决规则为当 $V_n > V_n$ 时 R输出高电平,反之R输出低电平。

4 实验结果与分析

采用 SMIC LP 65 nm mc 工艺库,利用 Spectre 对激励长度为 9 bit 具有 36 个输出端口(*m=n=9*)的 PUF 电路进行计算机仿真测试,分别验证其输出响应的唯一性、随机性和可靠性。图 4 给出了在 SMIC 65 nm CMOS 工艺下采用全定制方式设计的版图。输入寄存器位于版图的左侧;偏差电压源、复用网络及判决器阵列位于版图中间;扰乱模块位于版图右侧。版图中各单元电路共用电源及地以减小面积。整个版图设计共用到 4 层金属,第 1 层用于单元电



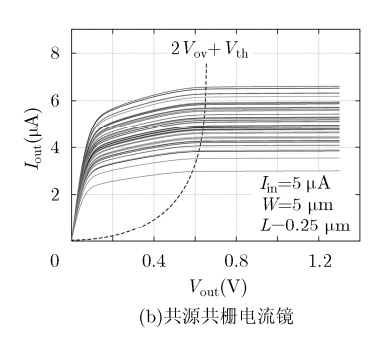


图 2 电流镜 I-V 输出关系的 Monte Carlo 仿真

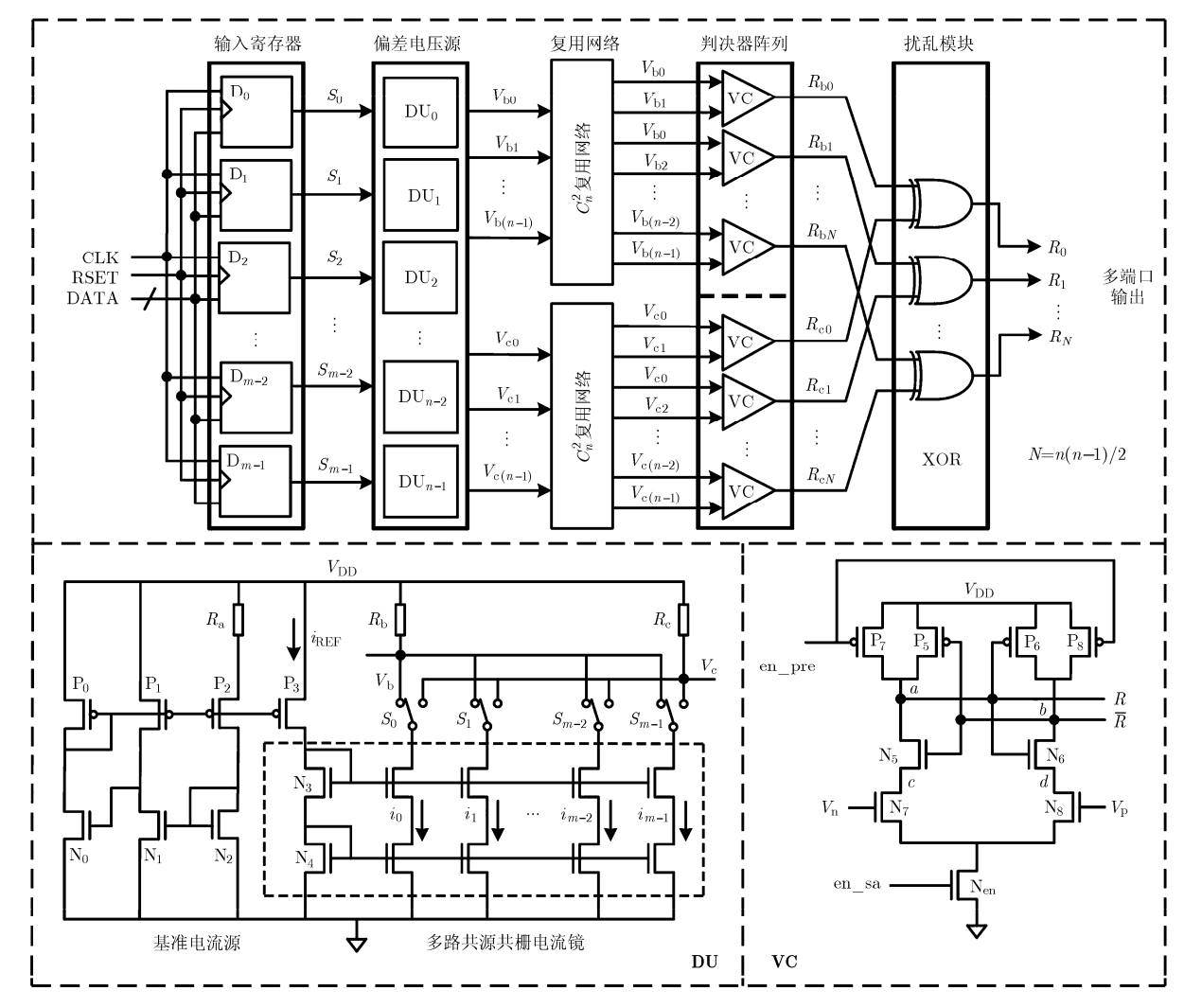


图 3 PUF 电路结构

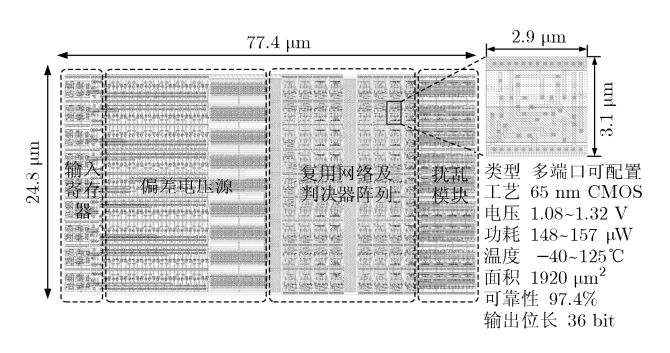


图 4 具有 36 个输出端口的 PUF 电路版图

路电源及内部信号走线、第 2 层用于各单元电路之间信号连接,第 3 层和第 4 层则对复用网络、使能信号及输入-输出信号布线。为减小各层金属线之间的电容耦合及信号串扰,相邻金属层采用垂直布线。在最小尺寸下,版图面积为 24.8 μm×77.4 μm,其中电压比较器的面积为 2.9 μm×3.1 μm。

4.1 唯一性

唯一性表征同一类型的 PUF 电路的任意个体

与其他个体的区分度,即产生唯一标识自身的数字信息的能力。通常采用统计同一类型 PUF 不同个体输出响应间汉明距离(Hamming Distance, HD)的方式衡量,理想情况下其值为 50%。 k 个 PUF 电路的片间汉明距离 HD_n 可由式(6)计算^[6]:

$$HD_{p} = \frac{2}{k(k-1)} \sum_{i=1}^{k-1} \sum_{j=i+1}^{k} \frac{HD(R_{i}, R_{j})}{N}$$
 (6)

其中, R_i 和 R_j 分别表示第 i 和第 j 个 PUF 电路产生的 N bit 输出响应。则在 w 组不同激励下,k 个 PUF 电路的平均片间汉明距离 $E(HD_P)$ 可由式(7)计算:

$$E(HD_p) = \frac{1}{w} \sum_{l=1}^{w} HD_{pl} \times 100\%$$
 (7)

在同一组激励下对所提 PUF 电路进行 10000次 Monte Carlo 仿真(k=10000),继而得到 10000个长度为 36 bit(N=36)的输出响应。为了实验结果的准确性,选取 9 组(w=9)汉明重量(Hamming Weight, HW)逐次加 1 的激励重复以上实验,记录数据并利用式(7)计算 E(HD_P) 为 48.6%。

4.2 随机性

随机性表征 PUF 电路输出逻辑 0 和逻辑 1 的分布情况。理想情况下,PUF 电路输出逻辑 0 和逻辑 1 的概率相等,随机性为 100%。PUF 电路输出数据的随机性可通过式(8)计算^[6]:

随机性 =
$$(1 - |2P(R = 1) - 1|) \times 100\%$$
 (8)

其中, P(R=1) 表示输出数值中逻辑电平 1 的概率。 为准确测试所提 PUF 电路输出响应的随机性,选取 9 组 HW 逐次加 1 的激励,在每一组激励下进行 10000 次 Monte Carlo 仿真,统计各输出端口响应 中逻辑 1 的概率,并通过式(8)计算随机性,各端口 输出响应的随机性随激励 HW 增加的拟合曲线如图 5 所示。由图 5 可知所提 PUF 电路各端口输出数据 的随机性均大于 97%。

4.3 可靠性

可靠性作为 PUF 电路重要的性能指标,用于说明 PUF 电路在不同工作环境中的性能。在 M 种不同环境下,PUF 电路的可靠性可通过式(9)衡量 $^{[6]}$ 。

可靠性 =
$$1 - E(HD_a)$$

$$= \left(1 - \frac{1}{M} \sum_{i=1}^{M} \frac{\text{HD}\left(R_{\text{r}}, R_{i}\right)}{N}\right) \times 100\% \tag{9}$$

其中, $E(HD_q)$ 表示平均片内汉明距离, R_r 和 R_i 分别表示工作在理想条件下 $(1.2 \text{ V}/25^{\circ}\text{C})$ 和第 i 种对比条件下的 N bit 输出响应。首先在 $1.2 \text{ V}/25^{\circ}\text{C}$ 条件下,对电路施加 9 组 HW 逐次加 1 的激励,从而得到 9 组长度为 36 bit 的输出响应,以此作为参考

响应。然后使电路工作在不同的温度和电压下,在每一种环境下施加与参考响应相同的激励,统计输出响应相对于参考响应改变的位数,并通过式(9)计算可靠性。统计结果如图 6 所示,其中图 6(a)和图 6(b)分别代表可靠性随温度和电压的变化情况,可知所提 PUF 电路工作在不同温度(-40~125°C)和电压(1.08~1.32 V)下的可靠性均分别高于 97.8%和 97.4%。

所设计的 PUF 电路与其他类型 PUF 电路性能对比如表 1 所示。由表 1 可知,设计的电流型(CM) 多端口可配置 PUF 电路功耗相对较高,但单比特面积最小、可靠性最高。

5 结论

PUF 电路利用 IC 制造过程中不可控的随机工艺偏差产生具有唯一性、随机性和不可克隆性的特有密钥。利用电流镜的工艺偏差,提出一种可配置多端口 PUF 电路设计方案,通过激励信号控制电流镜支路的开关,使得无需更换硬件电路便可实现输出密钥的变化,且可在一个时钟周期内产生多位输出数据。在 SMIC 65 nm CMOS 工艺下,采用全定制方法设计具有 36 个输出端口的 PUF 电路版图,面积为 24.8 μm×77.4 μm。与传统采用并联结构的36 端口 PUF 电路相比,设计的 PUF 电路中偏差电压源面积利用率提高了 87.5%,整体电路面积利用率提高了 71.8%,面积利用率会随偏差电压单元数的增加进一步提高。实验结果表明所设计的多端口

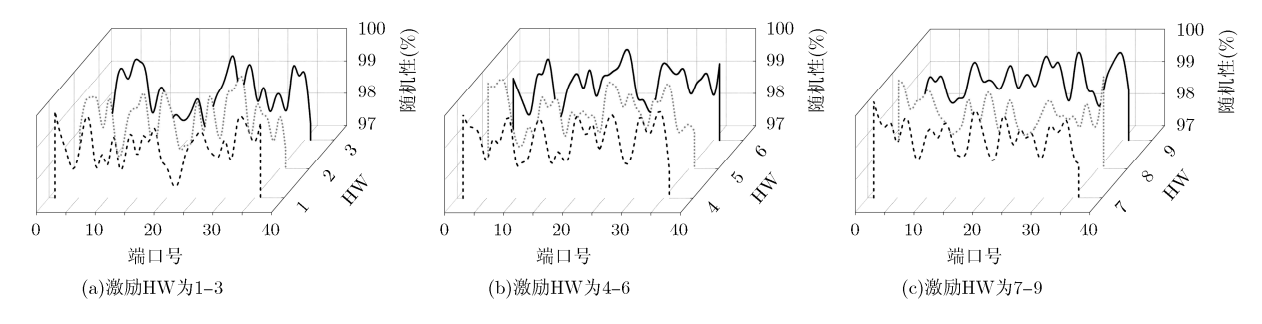
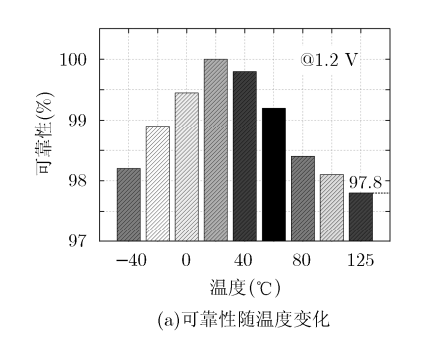


图 5 各端口输出响应的随机性随激励 HW 增加的拟合曲线



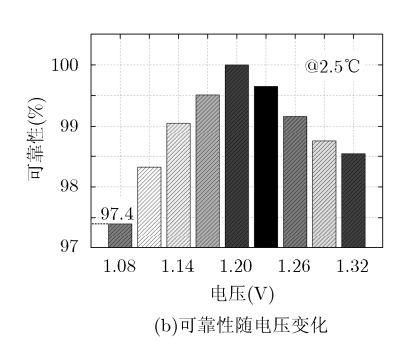


图 6 PUF 电路在不同温度和电压下的可靠性

| 从工工门大工IOI 记题已能为此 | | | | | | | | |
|---------------------------|-------------|-----|------------|------------|----------------|--------------|-------------|------------|
| 文献 | 类型 | 可配置 | 工艺 (nm) | 功耗 (μW) | 单比特面积 (μm²) | 温度范围 (°C) | 电压波动 (%) | 可靠性 (%) |
| TVLSI $2016^{[11]}$ | Arbiter-PUF | Y | 180 | 380.0 | 21750 | -40~100 | 6.0 | 96.8 |
| $ m JSSC~2008^{[10]}$ | SRAM-PUF | N | 130 | 1.6 | 119 | 0~100 | 15.0 | 96.0 |
| $TCAD\ 2015^{[13]}$ | RO-PUF | Y | 65 | 32.3 | 250 | -40~120 | 2.5 | 97.3 |
| $VLSI\ 2011^{[14]}$ | CM-PUF | Y | 90 | 788.0 | 1110 | -40~120 | 10.0 | 97.0 |
| ${ m HOST} 2013^{[15]}$ | CM-PUF | Y | 45 | 108.0 | 16000 | -55~125 | 10.0 | 95.9 |
| ${ m HOST} \ 2014^{[16]}$ | CM-PUF | Y | 30 | 12.3 | 875 | 0~75 | 9.0 | 96.0 |
| 本文 | CM-PUF | Y | 65 | 152.0 | 53 | -40~125 | 10.0 | 97.4 |
| | | | | | | | | |

表 1 不同类型 PUF 电路性能对比

PUF 电路在不降低安全性能的前提下增加了可配置功能,且在不同工作环境下可靠性达到 97.4%以上,可广泛应用于密钥生成和设备认证等领域。

参考文献

- POTKONJAK M and GOUDAR V. Public physical unclonable functions[J]. Proceedings of the IEEE, 2014, 102(8): 1142–1156. doi: 10.1109/JPROC.2014.2331553.
- [2] HERDER C, YU M D, KOUSHANFA F, et al. Physical unclonable functions and Applications: a tutorial[J]. Proceedings of the IEEE, 2014, 102(8): 1126–1141. doi: 10.1109/JPROC.2014. 2320516.
- [3] PAPPU R, RECHT R, TAYLOR J, et al. Physical one-way function[J]. Science, 2002, 297(5589): 2026–2030.
- [4] 项群良,张培勇,欧阳冬生,等. 多频率段物理不可克隆函数[J]. 电子与信息学报, 2012, 34(8): 2007-2012. doi: 10.3724/SP.J.1146. 2011.01249.
 - XIANG Qunliang, ZHANG Peiyong, OUYANG Dongsheng, et al. Multiple frequency slots based physical unclonable functions[J]. Journal of Electronics & Information Technology, 2012, 34(8): 2007–2012. doi: 10.3724/SP.J.1146.2011.01249.
- [5] MATHEW S K, SATPATHY S K, ANDERS M A, et al. A 0.19pJ/b PVT-variation-tolerant hybrid physically unclonable function circuit for 100% stable secure key generation in 22 nm CMOS[C]. IEEE International Solid-State Circuits Conference Digest of Technical Papers (ISSCC), San Francisco, 2014: 278-279.
- [6] LAO Y J and PARHI K. Statistical analysis of MUX-based physical unclonable functions[J]. IEEE Transactions on Computer-Aided Design of Integrated Circuits and Systems, 2014, 33(5): 649–662. doi: 10.1109/TCAD.2013.2296525.
- [7] SUH G E and DEVADAS S. Physical unclonable functions for device authentication and secret key generation [C]. Proceedings of the Design Automation Conference, San Francisco, 2007: 9–14.
- [8] GUAJARDO J, KUMAR S S, and CHRIJEN G J. FPGA intrinsic PUF and their use for IP protection[C]. Proceedings of the Workshop on Cryptographic Hardware and Embedded Systems, Vienna, 2007: 63–80.
- [9] 汪鹏君, 张跃军, 张学龙. 防御差分功耗分析攻击技术研究[J]. 电子与信息学报, 2012, 34(11): 2774-2784. doi: 10.3724/SP.J.1146. 2012 00555
 - WANG Pengjun, ZHANG Yuejun, and ZHANG Xuelong.

- Research of differential power analysis countermeasures[J]. Journal of Electronics & Information Technology, 2012, 34(11): 2774–2784. doi: 10.3724/SP.J.1146.2012.00555.
- [10] YING S, HOLLEMAN J, and OTIS B P. A digital 1.6 pJ/bit chip identification circuit using process variations[J]. *IEEE Journal of Solid-State Circuits*, 2008, 41(3): 69–77. doi: 10.1109/JSSC.2007. 910961.
- [11] BAI C, ZOU X, and DAI K. A novel thyristor-based silicon physical unclonable function[J]. IEEE Transactions on Very Large Scale Integration (VLSI) Systems, 2016, 24(1): 290–300. doi: 10.1109/TVLSI.2015.2398454.
- [12] 池保勇. 模拟集成电路与系统[M]. 北京: 清华大学出版社, 2009: 186-189.
 CHI Baoyong. Analog Integrated Circuits and Systems[M]. Beijing: Tsinghua University Press, 2009: 186-189.
- [13] CAO Y, ZHANG L, CHANG C H, et al. A low-power hybrid RO PUF with improved thermal stability for lightweight applications[J]. IEEE Transactions on Computer-Aided Design of Integrated Circuits and Systems, 2015, 34(7): 1143-1147. doi: 10.1109/TCAD.2015.2424955.
- [14] GANTA D, VIVEKRAJA V, PRIYA K, et al. A highly stable leakage-based silicon physical unclonable functions[C]. IEEE International Conference on VLSI Design, Madras, 2011: 135–140.
- [15] KALYANARAMAN M and ORSHANSKY M. Novel strong PUF based on nonlinearity of MOSFET subthreshold operation[C]. IEEE International Symposium on Hardware-Oriented Security and Trust (HOST), Austin, 2013: 13–18.
- [16] KUMAR R and BURLESON W. On design of a highly secure PUF based on non-linear current mirrors[C]. IEEE International Symposium on Hardware-Oriented Security and Trust (HOST), Washington, 2014: 38–43.
- 李 刚: 男,1988 年生,博士生,研究方向为密码芯片攻击和防御理 论及其VLSI 实现.
- 汪鹏君: 男,1966 年生,教授,博士生导师,研究方向为低功、高信息密度集成电路理论和设计技术、电路设计综合和优化技术、安全芯片理论和设计技术等.
- 张跃军: 男,1982 年生,讲师,博士,研究方向为密码芯片攻击和防御理论及其VLSI 实现、多值逻辑电路理论和设计技术.
- 钱浩宇: 男,1991 年生,硕士生,研究方向为密码芯片攻击和防御理 论及其VLSI 实现.